

دراسة تأثير الاستطاره والتشتت على معدل الجرعة المكافئ لدروع الالمنيوم والرصاص

نبيل جنان بنهام*

استلام البحث 7 ، ايلول ، 2009
قبول النشر 14 ، حزيران ، 2010

الخلاصة :

تم دراسة تأثير الاستطاره و للاشعاعية المتولدة داخل المادة على معدل مكافئ الجرعة الاشعاعية باستعمال مصدري Co^{60} و Cs^{137} بفعالية MBq (199.8, 177.6) على التوالى لاسمك مختلفة لدروع (Al , Pb, Pb-glass) اظهرت النتائج ارتفاع معدل الجرعة عند ادخال تأثير الاستطاره باستخدام دروع Al , Pb عند طاقة 1.25MeV لمصدر الكوبالت 60. ويقل هذا التأثير لدرع الرصاص عند طاقة 0.662 MeV لمصدر السيرزيوم 137. وبينت النتائج ان معدل الجرعة يتاثر بالعدد الذري لمادة الدرع فكان درع الرصاص المزجج الافضل حيث ابدي امتصاصية اكبر من بقية الدروع .

الكلمات المفتاحية : معدل الجرعة المكافئة ، الجرعة ، التشتت ، اشعة كاما

المقدمة :

تدعى بالجرعة الممتصة Absorbed Dose ، اما مكافئ الجرعة Dose Equivalent يمثل حاصل ضرب الجرعة الممتصة في ثابت يدعى عامل النوعية Q وهو كمية ثابتة تعتمد على نوع الاشعاع [2,1].

في اغلب الحسابات للجرع الاشعاعية يتم حساب الجرعة في الهواء و المادة دون الاخذ بنظر الاعتبار تأثير الاشعة الثانوية داخل المادة (تأثير الاستطاره Scattering) والتي تلعب دورا مهما في تحديد قيم الجرعة الاشعاعية ومعدل الجرعة . استخدمت دروع من الرصاص بسمك cm (1.12-7.5) و الرصاص المزجج بسمك (3.3-7.52)cm (1-7.52)cm والالمنيوم بسمك (10)بالدراسة الحالية .

درس تأثير الاستطاره و الاشعة الثانوية المتولدة داخل المادة على معدل مكافئ الجرعة الاشعاعية **Dose Equivalent rate ($\mu\text{Sv/hr}$)** لدرع الرصاص لمصدري Co^{60} و Cs^{137} و درع الالمنيوم لمصدر Co^{60} . كما تمت مقارنة تأثير نوع المادة على معدل الجرعة باستخدام مصدر Co^{60} لدروع الالمنيوم والرصاص والرصاص المزجج . وتبين الدراسة ان تشتت الاشعة داخل المادة و الاشعة الثانوية المتولدة تلعب دورا كبيرا في تحديد معدل الجرعة الاشعاعية فهي تعتمد على طاقة المصدر المشع والتشتت الحلفي ودرجة التناظر الهندسي لابعاد الدرع المستعمل والعدد الذري .

تجري معظم القياسات الكمية لكميات الاشعة المؤينة لغرض ايجاد او استعمال العلاقة العددية بينها وبين التأثيرات البيولوجية والكميابوية او الفيزيابوية المتولدة بفعل الاشعاع. ان تعامل الانسان مع انواع مختلفة من الاشعاعات نتيجة التطور الهائل الذي حصل في مجال التقنيات النووية واستعمالاتها في مجال الطب والزراعة والصناعة وحفظ الاغذية لذا اصبح من الضروري المحافظة على سلامة بيئه العمل وحماية البشرية من خطر الاشعاع ويتضمن ذلك تحديد الجرع الاشعاعية ودراسة تأثيرها في المادة الحية والتي تعتبر ذات اهمية كبيرة للمحافظة على البيئة بصورة عامة .

هناك عوامل مهمة يجب تحديدها وادخلها في حسابات الجرعة ومعدل الجرعة تتضمن معالجة تأثير الاشعة الثانوية وتفاعل الجسيمات المتولدة داخل المادة نتيجة للاستطاره المرنة وغير المرنة ومعالجة تأثير الامتصاصية الحاصلة للحرمة المختبرة لمادة من خلال حسابات المقطع العرضي للفاعل Cross-Section .

ان مفهوم الجرعة dose قد تعنى (الجرعة الممتصة مكافئ الجرعة - مكافئ الجرعة المؤثرة)، ان التأثير الاشعاعي يحدث فقط عند انتقال الطاقة من الاشعاع الى بعض المواد التي يجري تشعيعها و من المحتمل ان يكون التأثير مختلفا فيما اذا اضيفت كمية معينة من الطاقة الى كتلة صغيرة من المادة بدلا من توزيعها على كتلة كبيرة ، واكثر كميات الاشعاع المقايسة هي كمية الطاقة المضافة مقسومة على الكتلة ذات العلاقة و

*قسم الفيزياء ، كلية العلوم للبنات ، جامعة بغداد ، جمهورية العراق

الفيض المتبعة من مصدر نقطي يبعث فوتونات بدون درع Unshielded يعطى بالعلاقة:

$$\phi_p = \frac{An}{4\pi R^2} e^{-\mu x} \left(\frac{\text{photon}}{m^2 \cdot S} \right) \dots\dots (3)$$

μ : معامل الامتصاص الخطى .
A : فعالية المصدر المشع .
n: عدد الجسيمات او الفوتونات .

معدل الجرعة لمصدر نقطي متراقب تعطى بالمعادلة [7,5,4] :

$$D_p = K \frac{A}{R^2} e^{-\mu x} \dots\dots (4)$$

K: ثابت معدل الجرعة لمصدر نقطي يعتمد على طاقة ونوع المصدر المشع [5,7] .

العلاقة بين معدل الجرعة الممنصنة المكافئة الابتدائية والنهاية تعطى بالعلاقة التالية :

$$D_p = D_{op} e^{-\mu x} \dots\dots (5)$$

حيث D_p, D_{op} : معدل الجرعة الممنصنة المكافئة الابتدائية والنهاية على التوالي .

في حالة المصدر احادي الطاقة فأن العلاقة بين الجرعتين تعطى بالعلاقة [9,8,6,5] :

$$D_{p.s} = D_{op} B e^{-\mu x} \dots\dots (6)$$

وفي حالة كون المصدر يمتلك اكثر من طاقة تصبح المعادلة (5) بالشكل التالي:
حيث :

$$D_{p.s} = D_{op} \sum_i B_i f_i e^{-\mu_i x} \dots\dots (7)$$

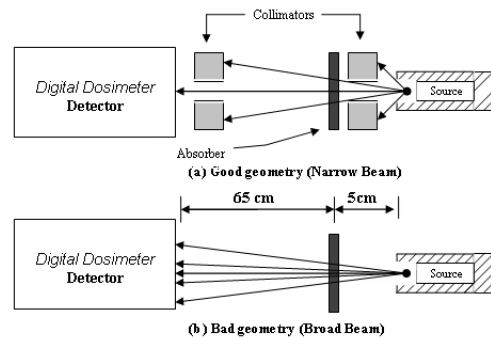
μ_i : معامل امتصاص المادة .i
B: عامل التراكم وهو ثابت يمثل مقدار التصحيف الاستطرار ويعتمد على العدد الذري وطاقة المصدر .

ان قيمة f تحسب من المعادلة التالية :

$$f = \frac{E N_i}{\sum_i E_i N_i} \dots\dots (8)$$

حيث E_i (MeV) تمثل طاقة الفوتون i المتبعة باحتمالية N_i .
من المعادلة 5 و 6 نحصل :

النظيرية :
عند دخول حزمة من أشعة كما في وسط مادي فإن كل فوتون في الحزمة سوف يكون أمامه أما إلا بتفاعل على الإطلاق أو أنه سوف يحذف كلما من الحزمة بوساطة الامتصاص أو الاستطرارة وهذا يؤدي إلى تضييف أسي للحزمة يتاسب مع سماك الوسط الممنص [3]. إن توهين حزمة من أشعة كما قد يكون توهين لشنتها أو توهين لطاقتها على طول المسار خلال الوسط [4] ، وبالتالي نحن أمام نوعين من الحزم ، حزمة غير مستطرارة شنتها تتضمن الفوتونات النافذة دون تفاعل نتيجة للترتيب الهندسي الجيد. وحزمة مستطرارة تنتج بواسطة الترتيب الهندسي الرديء تشمل أشعة كما المستطرارة والأشعة الناتجة من خلال تفاعلات الحزمة مع الوسط الملوثن. كما موضح بالشكل (1).



شكل (1) يبين كيفية الحصول على الحزمة المتفاعلة وغير المتفاعلة نتيجة الترتيب الهندسي الجيد والترتيب الهندسي الرديء .

ان توزيع كثافة الفيض الاشعاعي ϕ ومعدل الجرعة D حول مصدر نقطي يكون متراقب كرويا وعندما لا يوجد مادة ماصة يتاسب عكسيا مع مربع المسافة بين نقطة القياس والمصدر الباعث للأشعاع حسب قانون التربع العكسي [5] .

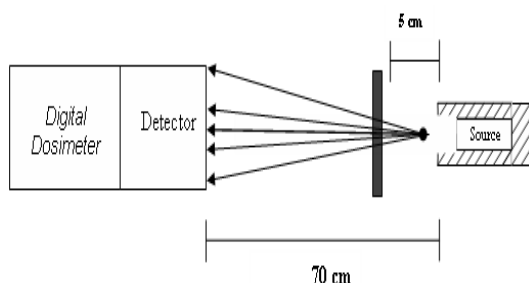
$$\phi = \phi_0 \frac{R_0^2}{R^2} \dots\dots (1)$$

R و R_0 : المسافة الابتدائية و النهاية على التوالي ، ϕ_0 و ϕ الفيض flux الابتدائي و النهائي .

$$D = D_0 \frac{R_0^2}{R^2} \dots\dots (2)$$

D₀ : معدل الجرعة الممنصنة المكافئة الابتدائية و النهاية على التوالي .

(Canberra InSpector 1000 Digital Hand-Held) - جهاز مقياس الجرعة



شكل (2) الترتيب الهندسي لمنظومة حساب الجرعة المكافحة .

طريقة العمل:

1. تهيئة المنظومة للترتيب الهندسي الجيد كما في الشكل (1-a).
2. ثبت مؤقت جهاز مقياس الجرعة لأختيار الفترة الزمنية المطلوبة للعد.
3. توضع القطعة الأولى من الدرع بعد المسدد من الطرف القريب للمصدر كما في الشكل (1-a) وتؤخذ القراءة $D_{P,0}$ بوجود المسدد (الترتيب الهندسي الجيد).
4. بعد إكمال باقي القياسات للدرع الأول تعداد القياسات باستعمال الترتيب الهندسي الرديء بوضع الدرع من الطرف القريب للمصدر كما في الشكل (1-b) وتؤخذ القراءة $D_{P,S}$ (رفع المسدد) لنفس الدرع.
5. تعداد الخطوات (4-3) لباقي الدروع .

النتائج :

رتبت نتائج الحسابات العملية لمعدل الجرعة المكافحة لدواux الالمانيوم والرصاص للترتيبين الهندسي الجيد والرديء ول المصدر الكوبالت- 60 بالجدولين (1) و(2)، بينما حسابات معدل مكافئ الجرعة لدرع الرصاص لمصدر السبيزيوم - 137 وضعت في الجدول (3) للترتيبين الهندسي الجيد والرديء ، اما والرصاص المزجج للترتيب الهندسي الرديء فوضحت قيم معدل الجرعة المكافحة في الجدول (4) لمصدر الكوبالت- 60 . استعملت معادلة رياضية بسيطة لحساب مقدار النسبة المئوية percentage division لأنحراف قيم معدل الجرعة المكافحة للترتيب الهندسي الرديء عن الترتيب الهندسي الجيد و تمثل نسبة الانحراف نسبة الاستطارة والتشتت في كلتا الحالتين من الترتيب الهندسي كما في المعادلة التالية [15]:

$$D_{P,S} = B D_P \dots \dots \dots (9)$$

ان المعنى الفيزياوي للمعادلة (9) هو ان الحزمة المستطررة (الحزمة العريضة) تساوي مقدار تصحيح الاستطارة (B) مضروبا بالحزمة غير المتفاعلة .

ان العمليات التي تحصل عند مرور الفوتونات خلال المادة هي عمليات معقدة كما أن بعض الخواص المتعلقة بهذه العمليات يمكن فهمها بتطبيق الميكانيك الكلاسيكي اي معادلات ماسكويل ولكن الوضع الفيزياوي الصحيح لا يمكن وصفه الا باستخدام النظريات الكهرومغناطيسية الكمية ومن ابرز تفاعلات الفوتون مع المادة التاثير الكهروضوئي حيث يحدث امتصاصا تماما عند اصطدام الفوتون مع الكترون احد المدارات الداخلية للذرة (خاصة مدار K) ، أن معامل امتصاص الظاهرة الكهروضوئية يتاسب طرديا مع الاس

الرابع للعدد الذري للمادة $\bar{Z} \propto Z^4$ والذى يسود في طاقات الفوتون الواطئة وللمواد ذات الأعداد الذرية الكبيرة [10]. بينما استطارة كومبتون تحدث استطارة غير مرنة للفوتونات مع الكترونات المادة الخارجية ، و معامل امتصاص استطارة كومبتون يتاسب طرديا مع العدد الذري للمادة $\sigma \propto Z^2$ ويسود لمدى الطاقات المتوسطة للفوتونات ، وللمواد ذات الأعداد الذرية القليلة [11,4] .

اما بالنسبة الى ظاهرة انتاج الزوج فيحدث امتصاص تام لطاقة الفوتونات التي تزيد طاقتها عن $2m_e c^2$ عند تفاعلها مع المجال الكهربائي حول النواة و معامل امتصاص انتاج الزوج يتاسب

طرديا مع مربع العدد الذري للمادة $K \propto Z^2$ ويسود لطاقات الفوتون العالية ، وللمواد ذات الأعداد الذرية الكبيرة [12]. ومجموع هذه الاحتماليات يمثل معامل الامتصاص الخطى المادة $(\mu) \text{ cm}^{-1}$ [14,13,3] .

المواد وطرق العمل:

استخدم جهاز مقياس الجرعة لتهيئة المنظومة كما في الشكل (2) و تكون المنظومة من الاجزاء التالية:

- 1- مصدرى الكوبالت ^{60}Co و السبيزيوم ^{137}Cs بفعالية MBq (177.6,199.8) على التوالى.
- 2- عينات من دروع لمواد Lead ، Glass ، Al .
- 3- زوج من مسدادات Collimators قطر mm 7.5 .

جدول (3) معدل الجرعة المكافحة لدرع الرصاص عند طاقة مصدر Cs^{137} 0.662 MeV بفعالية 177.6 MBq للترتيبين الهندسيين الجيد والرديء .

NO.	Thickness (cm)	Bad geometry D ($\mu\text{Sv/hr}$)	Good geometry D ($\mu\text{Sv/hr}$)	P.d %	material
1	1.12	9.0144	6.578	37	Lead
2	2.33	2.334	1.409	65	
3	3	1.105	0.600	84	
4	4.72	0.136	0.067	102	
5	5.29	0.0753	0.032	135	
6	6.48	0.016	0.007	128	
7	7.5	0.005	0.001	400	

رابعاً : درع الرصاص المزجج لمصدر Co^{60} بفعالية 1.25MeV 199.8MBq للترتيب الهندسي الجيد والرديء .

استعمل درع الرصاص المزجج لغرض المقارنة النتائج مع بقية الدروع بثبوت الترتيب الهندسي وطاقة المصدر المشع وقد وضحت بالشكل رقم (4).

جدول (4) معدل الجرعة المكافحة لدرع الرصاص المزجج المصدر Co^{60} 1.25MeV بفعالية 199.8MBq للترتيبين الهندسيين الجيد والرديء .

NO.	Thickness (cm)	Bad geometry D ($\mu\text{Sv/hr}$)	Good geometry D ($\mu\text{Sv/hr}$)	p.d%	material
1	1	64.837	37.6700	72	-Lead Glass
2	2.017	33.240	17.2200	93	
3	3.109	16.239	9.1290	77	
4	4.1	8.484	3.0980	173	
5	5	4.708	2.8010	68	
6	6.3	2.014	0.9070	122	
7	7.52	0.908	0.3140	190	

المناقشة:

تأثير الاستطرارة والأشعة الثانوية المتولدة داخل المادة على معدل الجرعة المكافحة :
اظهرت النتائج ارتفاع معدل الجرعة المكافحة لدرع الالمانيوم والرصاص عند طاقة مصدر Co^{60} 1.25MeV للترتيب الهندسي الرديء (تأثير الاستطرارة والأشعة الثانوية) وتقديمها على الترتيب الهندسي الجيد كمافي الشكل (3) وهذا ماحصل لدرع الرصاص لمصدر Cs^{137} بطاقة 0.662 MeV ولكن بشكل اقل تأثيراً ويرجع السبب في ذلك الى وجود نسبة كبيرة من الفوتونات المشتتة بزوايا كبيرة نسبياً تصل الكاشف في حالة الترتيب الهندسي الرديء (انعدام المسدادات) وتسجل الزيادة في معدل العد فضلاً عن ارتفاع احتمالية تفاعل طواهر الاستطرارة والتشتت حيث تكون عملية الامتصاص قليلة لذاتكون الحزمة ذات شدة عالية اذا ما قورنت بالتترتيب الهندسي الجيد الذي

$$p.d \% = \frac{D_{bad} - D_{good}}{D_{good}} \times 100(10)$$

اولاً:- درع الالمانيوم عند طاقة مصدر Co^{60} 1.25MeV 199.8MBq فكانت النتائج كما في الجدول التالي :

جدول (1) معدل الجرعة المكافحة لدرع الالمانيوم عند طاقة مصدر Co^{60} 1.25MeV بفعالية 199.8MBq للترتيبين الهندسيين الجيد والرديء.

NO.	Thickness (cm)	Bad geometry D ($\mu\text{Sv/hr}$)	Good geometry D ($\mu\text{Sv/hr}$)	P.d %	material
1	3.3	96.646	76.652	26.08	Aluminu m
2	4	114.866	69.081	66.27	
3	4.5	106.327	64.135	65.78	
4	5	98.420	59.544	65.28	
5	5.5	91.100	55.282	64.79	
6	6	84.323	51.326	64.28	
7	6.5	78.049	47.652	63.78	
8	7	116.826	44.242	164.0	
9	7.5	107.683	41.076	162.1	
10	8	99.251	38.137	160.2	
11	9	84.302	32.876	156.4	
12	10	71.589	28.341	152.5	

ثانياً: درع الرصاص عند طاقة مصدر Co^{60} 1.25MeV 199.8MBq فكانت النتائج كما في الجدول التالي :

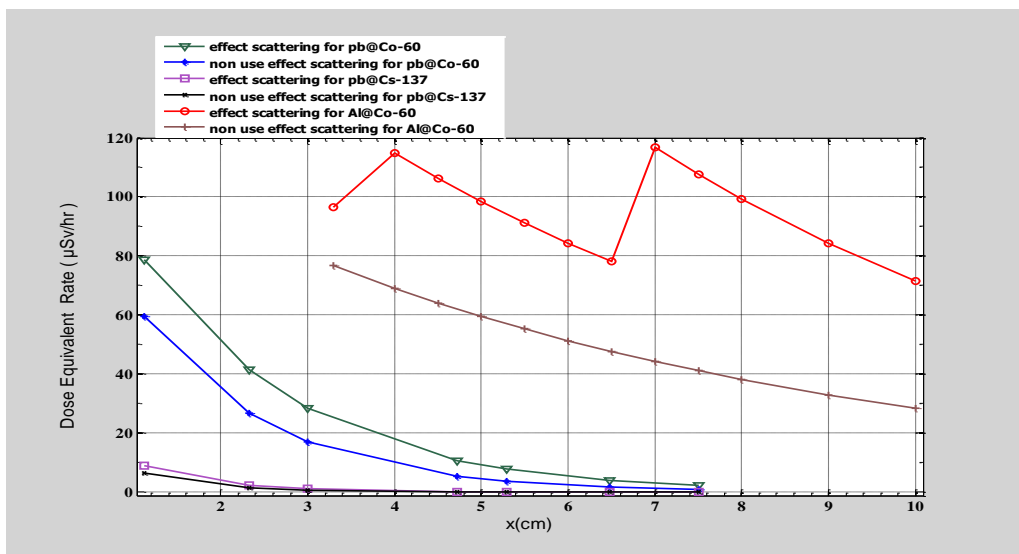
جدول (2) معدل الجرعة المكافحة لدرع الرصاص عند طاقة مصدر Co^{60} 1.25MeV بفعالية 199.8MBq للترتيبين الهندسيين الجيد والرديء .

NO.	Thickness (cm)	Bad geometry D ($\mu\text{Sv/hr}$)	Good geometry D ($\mu\text{Sv/hr}$)	P.d %	material
1	1.12	78.665	59.448	32	Lead
2	2.33	41.539	26.634	55	
3	3	28.444	17.086	166	
4	4.72	10.711	5.478	95	
5	5.29	7.7305	3.760	105	
6	6.48	3.971	1.716	131	
7	7.5	2.248	0.877	156	

ثالثاً: درع الرصاص عند طاقة مصدر Cs^{137} 0.662 MeV 177.6 MBq فكانت النتائج كما في الجدول التالي :

فضلا عن ان عملية الامتصاص تحدث بنسبة اكبر. ولابد هنا من ان نشير الى ان طاقة المصدر ونوع المادة تلعب دورا اساسيا في تحديد هذه التأثيرات .

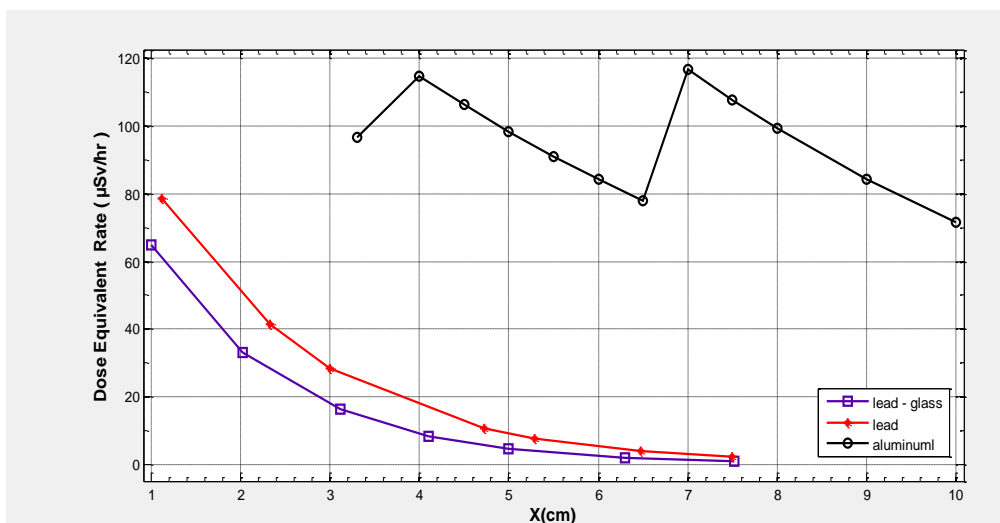
تكون فيه الحزمة مسددة بزوايا ضيقة (وجود المسدّدات collimators) حيث تنخفض الى حد كبير احتمالية تشتت الفوتونات للحزمة المسددة



شكل (3) يمثل معدل الجرعة المكافحة كدالة للسمك (الحالتين من الترتيب الهندسي) لدرع الالمنيوم لمصدر الرصاص لمصدري Co^{60} و Cs^{137} .

الضوئي [10] ، ولكن ظاهرة كومتن ليست وحدها اللاعيب الرئيس في هذه التفاعلات بل ان ظاهرة انتاج الزوج تتطلب ان تكون طاقة الفوتون مساوية او اكبر من $(1.022MeV)$ اي $2m_e c^2$ وهذا امر ممكن مع ارتفاع طاقة المصدر المشع ، ولا يخفى علينا ان ذكر ان مصدر Co^{60} يبعث طقتين هما استطارة الفوتونات اذا ما قورنت مع مصدر Cs^{137} الاحادي الطاقة [10,4].

عند طاقة $0.662 MeV$ لمصدر Cs^{137} وجد ان تأثير الاستطارة على معدل الجرعة لدرع الرصاص ($z=82$) اقل من تأثيرها عند طاقة $1.25MeV Co^{60}$ ويکاد يكون معذوما في الحال الاولى حيث تسود التفاعلات الكهروضوئية جميع المواد عندما تكون طاقة الفوتونات واطنة ولكن عند زيادة الطاقة فان التأثير الكهروضوئي يهبط بصورة اوسع من تأثير كوبتن حيث ان الاخير يسود في النهاية وباستمرار الزيادة في طاقة الفوتون وبالرغم من ان تأثير كوبتن يتلاقص بصورة مطلقة فإنه يزداد اکثر نسبة الى التأثير



شكل (4) يمثل معدل الجرعة المكافحة كدالة للسمك والرصاص والمزجج لمصدر Co^{60} للترتيب الهندسي الرديبي.

- بشكل واضح للسمك 4 cm و 7cm من ترتيب الهندسي الرديء ويعد ذلك للأسباب التالية:
- وجود احتمالية كبيرة ان يحدث الفوتون اكثراً من استطارة multiple scatter مغادرته الدرع وهذا امر طبيعي للدروع ذات الاعداد الذرية القليلة والمنخفضة [16,17].
 - تعدد الاستطارات تؤدي الى تراكم لطاقة الفوتون الممتصصة عند دخوله الوسط المادي مما يؤدي الى ارتفاع معدل الجرعة عند سماكة معين وأنخفاضه تارة اخرى عند زيادة السماكة نتيجة الامتصاص الطاقة من قبل ذرات المادة.
 - التشتت الخلفي الذي يتكرر مع عدد من التفاعلات والتشتت الزاوي يلعب دوراً مهما في تحديد معاملات التوهين [5].
 - عدد تفاعلات الفوتون قبل الامتصاص يلعب دوراً رئيسياً في تذبذب القيم.
 - يحتاج الفوتون ان يقطع اسماكاً كبيرة من وحدات المسار الحر للالمنيوم دون ان يحدث تفاعل وهو عكس ما يحصل في المواد ذات الاعداد الذرية العالية.
- وهنا يتبع التأثير الحرج لحساب الجرعة بتأثير الاشعة الثانوية والتي تغير ذات اهمية قصوى في مجال العلاج بالأشعة radiotherapy وبالاخص حسابات التدريج و الجرعة [10,12,16].

تأثير نسبة التشتت:

تظهر لنا حسابات نسبة التشتت والانحراف معياري للقراءات لمختلف الدروع تبايناً ملحوظاً في قيم معدل الجرعة المكافئة للحالتين من الترتيب الهندسي وهذا التباين يختلف باختلاف الدرع والسمك فكانت نتائج نسبة التشتت كما هو متوقع متباينة ويصعب التنبؤ بها فهي غير خاضعة لقاعدة او لنمط معين وتختلف عن ما هو متوقع نظرياً ويعود سبب ذلك الى طبيعة التفاعلات المعقدة للفوتون مع المادة واليات التفاعل والتي نوقشت افأ ، في حسابات درع الالمنيوم لمصدر الكوبالت-60 نسبة التشتت بين (152-26%) بانحراف معياري standard deviation للقراءات وصل الى 45 في حين اظهرت حسابات درع الرصاص لمصدر الكوبالت-60 تراوحت نسبة التشتت بين (52-156%) بانحراف معياري بلغ 8.32، بينما اظهرت نتائج درع الرصاص الممزوج لمصدر الكوبالت-60 حيث تراوحت نسبة التشتت بين (68-189%) بانحراف معياري بلغ 12.38، اما درع الرصاص لمصدر السيرزيوم-137 فكان ت (37-400%) بانحراف معياري هو الاقل حيث وصل الى 0.56. عند ادخال تأثير التشتت في حسابات قياس (الجرعة - الجرعة المكافئة -

اما تأثير نوع الدرع على معدل الجرعة المكافئة بثبوت طاقة المصدر 1.25MeV يلاحظ من الرسم (4) للالمنيوم والرصاص تبين انه يلعب دوراً مهما وبما ان الالمنيوم ($Z=13$) ذا عدد ذري اقل من الرصاص ($Z=82$) فالالمنيوم سيثبت فوتونات اكبر من الرصاص الذي يمتلكها بشكل اكبر وتزداد نسبة الفوتونات المشتتة مع زيادة طاقة المصدر (في حدود الطاقات المستخدمة في البحث) بسبب هيمنة ظاهرة كومبتون في درع الالمنيوم وهي المسؤولة عن الاستطارة والتشتت وهيمنة الظاهرة الكهروضوئية مع احتمالية اقل لحداث انتاج الزوج على درع الرصاص اضافة للتشتت ويضم التشتت الزاوي angular scattering والتشتت الخلفي back scattering حيث يكون الاعظم في الترتيب الهندسي الرديء وهو يحاكي الطبيعة عندما نتعامل مع المصادر المشعة غير مغلقة او غير مسددة بزروايا وحتى غير المدرعة بشكل جيد حيث عند وضع المسدادات تحجب كمية كبيرة من الفوتونات وتمنعها من الوصول للكاشف. ومن الشكل (4) نلاحظ تقدم معدل الجرعة المكافئة للترتيب الهندسي الرديء لدرع الالمنيوم على الرصاص والرصاص الممزوج ويرجع سبب في ذلك الى ان درعي الرصاص والرصاص الممزوج يمتلكان معاملات امتصاص اكبر من الالمنيوم لذا فإن مادة الرصاص ستمتص نسبة كبيرة من الفوتونات مؤدية الى انخفاض الشدة الاشعاعية للمصدر المشع (استطارة غير المرنة) وبالتالي امتصاص اكبر الاشعة الثانوية المتولدة داخل المادة .

اما درع الرصاص الممزوج فأثبت انه يعمل بصورة اكثر فعالية من الدروع السابقة لمصدر Co^{60} حيث انخفضت قيمة معدل الجرعة المكافئة الى ادنى مستوياتها بين الدروع ويرجع السبب في ذلك ان الرصاص الممزوج يعتبر مادة متراكبة او خليط من مادتين الرصاص والزجاج وبالتالي فإن الخصائص الفيزيائية لدرع الرصاص الممزوج يسمح بامتصاص اكبر للجسيمات المتولدة من الاشعة الثانوية على اعتبار انه خليط من مادتين الاولى تمتلك معامل امتصاص عالي والاخري واطئ ولكن الرصاص يساهم في امتصاص الفوتونات بنسبة اكبر من الزجاج الذي يمتص القليل جداً ويعمل الزجاج على اكمال امتصاص بقية الفوتونات (عن طريق الاستطارة) مما يؤدي الى خسارة كبيرة لطاقة للفوتونات المختلفة لمادة الرصاص الممزوج بالاستطارة والامتصاص معاً .

تفسير التذبذب قيم معدل مكافئ الجرعة لدرع الالمنيوم لمصدر Co^{60} بطاقة 1.25MeV :
من الشكل (3 و 4) نلاحظ تذبذب في قيم معدل الجرعة المكافئة لدرع الالمنيوم والتي ظهرت

المصادر :

1. Herman Cember & Thomas E. Johnson,2009. Introduction To Health Physics , McGraw-Hill Company ,4th Ed,848.
2. Kieran Maher,2006. basic physics of nuclear medicine, published by Wikibooks contributors,1st Ed ,106.
3. Ali. A.A, 2003. Measurement and Calculation of the Linear and Mass Attenuation Coefficient of Gamma Ray for Some Isolation Materials (Wood, Lignin and Cellulose) , M.Sc. Thesis ,Al-Mustansiriyah University .
4. Tsoulfaidis. N, 1983.Measurements And Detection Of Radiation, McGraw-Hill Company,1st Ed,571.
5. Foldiak, G. 1986. Industrial application of radioisotopes, elsevier Company,2nd Ed,564.
6. Gordner R. And R. Ely; 1967. Radio Isotope Measurement Applications In Engineering, Reinhold Publishing Corporation, 1st 481.
7. Laurie M. Unger & D. K. Trubey,1982. Specific gamma-ray dose constants for nuclides, ORNL/RSIC-45L/R1,75.
8. Chibani Omar, 2001. New Photon Exposure Buildup Factors, Nucl. Sci. Eng ,137 (2):215-225.
9. Al-Ashhab .M, 1991. Nuclear Reactors and Protection against Radiation and Contamination. ACATAP Company, 1st Ed, 488.
10. Dr. bahaa Hussein maroof. 1989. protection of ionization protection, published by Iraqi Atomic Energy Organization.1st Ed,41 ,408 .
11. E.B. Podgorsak, 2005. Radiation Oncology Physics, published by IAEA, spatial edition, 696.
12. E.B. Podgorsak, 2006. radiation physics for medical physicists, published by springer,2nd Ed ,457 .
13. Jacob Shapiro, 2002. radiation protection, published by the

التعرض... الخ) تبين لنا المعالجات الاحصائية للحسابات العملية مقدار الزيادة والنقصان الغير متوقعة في قيم معدل الجرعة المكافئة وهذا يعترف تقنياً مهماً للخطر الاشعاعي وبالاخص العاملين في مجال التصوير الطبي والعلاج الاشعاعي فتحديد الجرعة المناسبة لقتل ورم خبيث يتطلب ضبط حسابات الجرعة بشكل دقيق وذلك بادخال العوامل السابقة المؤثرة على قيم معدل الجرعة واخذها بنظر الاعتبار كما ان اي زيادة يتعرض لها العضو البشري في معدل الاشعاع ستحتضر ضرراً وتتفاوت في الانسجة المحبطية بالورم ان تطبق تقنية السيطرة على جرعة الاشعاعية ليس له فوائد طبية فحسب بل تمتد فوائده الى الجانب الصناعي والصحي حيث ان تعقيم المواد الصحية وحفظ المنتوجات الغذائية ومعالجة الافات الزراعية التي تصيب المحاصيل الزراعية والفواكه حيث تلعب هذه التقنية فيها دوراً مهماً ورئيسياً [14-10,5].

الاستنتاجات :

- 1- ارتفاع معدل الجرعة المكافئة عند ادخال تاثير الاستطارة الى قيم غير متوقعة قد تصل الى اكثـر من ضعـف القيـم المحسـوبة للحرـمة المسـدة بشـكل جـيد(الترتيب الهندـسي الجـيد) للـالمنـيوم والـرصـاص.
- 2- الاختلاف في قيم معدل الجرعة المكافئة قبل وبعد الاخذ بنظر الاعتبار تاثير الاستطارة والاشعة الثانوية يقل عند الطاقة 0.662 MeV لمصدر Cs^{137} ويزداد عند طاقة 1.25MeV لمصدر Co^{60} لدرع الرصاص .
- 3- ان التذبذب الحالـل في قيم معدل الجـرعة المكافـفة لبعـض الدـورـوع وـمنـها درـع الـالـمنـيوم عند الطـاقـة 1.25MeV يعود السـبـب لـعدـة عـوـامـلـ اـهمـها نوعـ وـعـدـ القـاعـلاتـ التـيـ يـحدـثـهاـ الفـوتـونـ قـبـلـ مـغـادـرـ الدـرـعـ فـضـلاـ عنـ تـعـدـدـ الـاسـتـطـارـاتـ المـؤـدـيـةـ لـتـراـكـمـ طـاقـةـ الفـوتـونـ المـمـتـصـةـ .
- 4- معدل مكافئ الجرعة يقل بارتفاع العدد الذري للدرع وهذا ماحصل للـالمنـيوم والـرصـاصـ الا ان درعـ الرـصـاصـ المـزـجـجـ تمـيـزـ عنـ بـقـيـةـ الدـرـوعـ بـامتـلاـكـهـ أـقـلـ مـعـدـلـ جـرـعةـ .
- 5- ازدياد نسبة التشـتـتـ وـالـانـحرـافـ المـعيـاريـ للـقـرـاءـتـ يـؤـديـ لـزيـادةـ الخـطـرـ الاـشـعـاعـيـ riskـ radiationـ حيثـ يـؤـديـ الىـ حدـوثـ طـفـراتـ فيـ قـيمـ مـعـدـلـ الجـرـعةـ المـكـافـفـةـ وبالـاـخـصـ لـالـمـصـادـرـ المشـعـةـ المـفـتوـحةـ اوـ الغـيرـ مـسـدـدـةـ بـزوـاياـ (الـتـرـتـيبـ الـهـنـدـسـيـ الرـذـيـيـ)،ـ وـيـزـدـادـ هـذـاـ الخـطـرـ بـزـيـادـ طـاقـةـ المـصـدـرـ وـانـخـفـاضـ العـدـ الذـريـ .

- 16.** F.Arqueros & G.D.Montesinos, 2003.Asimple Algorithm For The Transport Of Gamma Rays In A Medium,Am. J. Phys.71 (1):38-45.
- 17.** J.Swarup & L.H Peshori ,1986. transmitted photon spectra of low-energy gamma rays through nuclear grade graphite ,radiat. isot.37(1):13-16.
- President and Fellows of Harvard College,4th Ed, 688.
- 14.** Raymond L. Murray, 2009. Nuclear Energy, Elsevier Company, 6th Ed, 552.
- 15.** Al-Attiah.K.H.H. 1994.gamma ray buildup factor measurements in different material, Ph.D Thesis, Baghdad University.

Study the Effect of Scattering and Disperse Radiation on Equivalent Dose Rate for Al & Pb Shields

*Nabil Janan Bahnam **

*Physics science department/College of science for women / University of Baghdad / Baghdad /Iraq

Abstract:

The effects of scattering and secondary radiation generated inside the material on dose equivalent rate where studied using Co⁶⁰ and Cs¹³⁷ sources of activity (199.8 , 177.6) MBq , respectively for different thicknesses of Al , Pb and Pb- glass . The results showed that the equivalent rate increases when the effect of scattering was included for Al and Pb shields with cobalt-60 source of energy 1.25 MeV ; and decreases for Pb shield with Cs-137 source of energy 0.662MeV .The results showed also that the atomic number of The material effects the dose equivalent rate . The Pb-glass shield was found to be more efficient in absorption than other shields.